

Сингулярность в спектре рассеяния медленных ионов на нанокластерах металлов

В. Д. Борман, В. В. Лебидько, М. А. Пушкин, И. Ю. Смуров⁺, В. Н. Тронин, В. И. Троян¹⁾

Московский инженерно-физический институт (Государственный университет), 115409 Москва, Россия

⁺*Ecole Nationale d'Ingénieurs de Saint-Etienne, 42023 Saint-Etienne, France*

Поступила в редакцию 28 сентября 2004 г.

В спектрах неупругого рассеяния медленных ионов, взаимодействующих с нанокластерами d металлов, обнаружена асимметрия линий, объяснить которую удалось в рамках механизма возбуждения $e-h$ -пар малых энергий и больших импульсов (“инфракрасная катастрофа”). В результате исследования асимметрии в спектрах рентгеновской фотоэлектронной спектроскопии и спектроскопии рассеяния медленных ионов установлено, что индексы сингулярности Андерсона α , обусловленные электронными состояниями на поверхности и в объеме, проявляют различный характер поведения в зависимости от размера нанокластеров. Полученные результаты не могут быть объяснены в рамках известных представлений о перераспределении этих вкладов с уменьшением размеров нанокластеров.

PACS: 73.22.-f

В настоящее время исследования электронных свойств металлических кластеров нанометровых размеров являются актуальными как с точки зрения фундаментальной науки, так и ее многочисленных приложений. В работах [1, 2] при использовании рентгеновской фотоэлектронной спектроскопии (РФЭС) было показано, что с уменьшением размера нанокластера уменьшается плотность электронных состояний $\rho(\varepsilon_f)$, а следовательно, и экранировка остовной дырки валентными электронами, что может привести к изменению характеристик нанокластеров вплоть до их перехода в неметаллическое состояние [3, 4]. В этом случае при внезапном появлении единичного положительного заряда (остовной дырки) изменяется отклик электронной подсистемы, результатом которого является возбуждение электрон-дырочных ($e-h$) пар. Это приводит к асимметрии спектральных линий фотоэлектронов. Механизм рождения $e-h$ -пар был предложен Андерсоном и Мааном [5, 6]. Ими было показано, что при внезапном появлении на остовном уровне в результате фотополионизации долгоживущей дырки (локализованного возмущения) в электронном газе вблизи поверхности Ферми происходит рождение $e-h$ -пар с очень малой энергией и большим импульсом. Так как остовая дырка обладает бесконечной эффективной массой и, следовательно, может воспринять произвольно большой импульс, то возбуждается большое количество таких пар (“инфракрасная катастрофа”) [5, 7].

Спектр фотоэлектронов в этом случае носит сингулярный характер [5, 6]:

$$I(\varepsilon) = \frac{1}{(\varepsilon - \varepsilon_0)^{1-\alpha}} \cdot \theta(\varepsilon - \varepsilon_0). \quad (1)$$

Здесь ε_0 – энергия связи электрона на остовном уровне, α – индекс сингулярности Андерсона, $\theta(\varepsilon)$ – функция Хевисайда.

Индекс сингулярности определяется симметрией фаз рассеяния δ_l электронов на дырке и квадратичным образом зависит от экранированного потенциала локальной дырки и плотности электронных состояний на уровне Ферми $\rho(\varepsilon_f)$ [7, 8], что позволяет исследовать зонную структуру и плотность электронных состояний на уровне Ферми металлов. Экспериментально измеренные индексы сингулярности для простых металлов приведены в работе [9]. Аналогичные явления наблюдались также при поглощении и эмиссии рентгеновского излучения в металлах [10, 11]. В качестве возбуждающего потенциала $e-h$ -пар может быть использован кулоновский потенциал легкого иона гелия ($m/M \gg 1$, m и M – массы атома-рассеивателя и иона, соответственно). Изменяя кинетическую энергию ионов, можно наблюдать возбуждения коллективных мод в широком диапазоне энергий и импульсов от плазмонов до квазичастич ($e-h$ -пар) и выделить область энергий, в которых возбуждаются лишь $e-h$ -пары, что принципиально невозможно сделать в случае РФЭС. Отметим, что измеряемой величиной в этом случае является спектр рассеянных ионов, неупруго взаимодействующих с электронами проводимости, в то время как в

¹⁾e-mail: VITroyan@mail.ru

случае РФЭС это спектр фотоэлектронов, появление которых является причиной возникновения локальной остановной дырки.

В настоящей работе представлены результаты экспериментов по рассеянию медленных ионов He^+ на нанокластерах ряда d металлов (Au, Co, Mo), в спектрах которых обнаружена асимметрия линий. Поскольку спектроскопия рассеяния медленных ионов (СРМИ) чувствительна лишь к поверхности (~ 1 монослоя), подобные исследования асимметрии спектров рассеянных ионов He^+ дают информацию об индексе сингулярности Андерсона, а значит, и о спектре возбужденных $e-h$ -пар в поверхностных электронных состояниях, которые, как известно, отличаются от объемных [12]. Исследования нанокластеров Au, Co и Mo проводились также с помощью РФЭС, асимметрия в спектрах которых определяется электронными состояниями на длине свободного пробега фотоэлектрона (нескольких монослоев). Это позволило выделить в индексе сингулярности α вклад поверхностных и объемных электронных состояний у поверхности Ферми в зависимости от размера нанокластера. Установлено, что индекс сингулярности, определяемый поверхностными состояниями в нанокластерах во всем диапазоне размеров ($20 \div 60 \text{ \AA}$), в пределах погрешности не изменяется, в то время как величина α , обусловленная объемными электронными состояниями, увеличивается почти в 3 раза при уменьшении размера нанокластера.

Формирование нанокластеров было выполнено методом импульсного лазерного осаждения металла (Au, Co, Mo) на поверхность высоко ориентированного пиролитического графита (ВОПГ) при комнатной температуре в условиях сверхвысокого вакуума ($p_{\text{res}} \approx 5 \cdot 10^{-10}$ торр) в камере препарирования электронного спектрометра XSAM-800 "Kratos". Контроль поверхности осуществлялся *in situ* с помощью рентгеновской фотоэлектронной и оже-спектроскопии (ОС). Излучение YAG:Nd³⁺-лазера ($\lambda = 1.06 \text{ мкм}$, режим модулированной добротности, длительность импульсов $\tau = 15 \text{ нс}$, частота повторения 25 Гц, энергия в импульсе 80 мДж) фокусировалось на мишени, закрепленной внутри камеры препарирования. Количество осаждаемых за один импульс атомов металла изменялось в диапазоне $10^{13} \div 10^{15} \text{ ат}/\text{см}^2$ при длительности импульса осаждения $\tau_p \approx 10^{-6} \text{ с}$. Полное количество осажденного вещества как функция числа импульсов осаждения при заданной геометрии и энергии лазерного излучения определялось *in situ* методом РФЭС и *ex situ* методом обратного резерфордовского рассеяния (ОРР). Распределения нанокластеров по размерам и зависи-

мость среднего размера нанокластеров от количества осажденного вещества (и числа импульсов осаждения) определялись из анализа изображений, полученных методом вакуумной сканирующей туннельной микроскопии с разрешением вплоть до атомарного. Полученные таким образом зависимости позволили исследовать сингулярность РФЭС и СРМИ спектров нанокластеров как функцию их среднего размера.

О явлении рождения $e-h$ -пар в нанокластерах металлов на поверхности ВОПГ можно судить по обнаружению асимметрии спектров упругого рассеяния медленных ионов He^+ на поверхности исследуемых образцов со стороны меньших кинетических энергий. Суть метода СРМИ состоит в измерении спектра упруго рассеянных ионов на атомах исследуемой поверхности. При этом энергия рассеянных ионов равна $E = kE_0$, где $k(\theta, m/M)$ – кинематический фактор, зависящий от угла рассеяния θ , который в геометрии электронного спектрометра XSAM-800 составляет 125° . В частности, для Au величина $k = 0.938$.

Типичный спектр $I(E)$ упруго рассеянных ионов He^+ с кинетической энергией $E = 0.5 \text{ кэВ}$ на атомах нанокластеров золота размером $d \approx 60 \text{ \AA}$, сформированных на поверхности ВОПГ за $N = 5000$ импульсов осаждения, представлен на рис.1 (кривая *a*). Во всей области исследуемых энергий ионов появляется

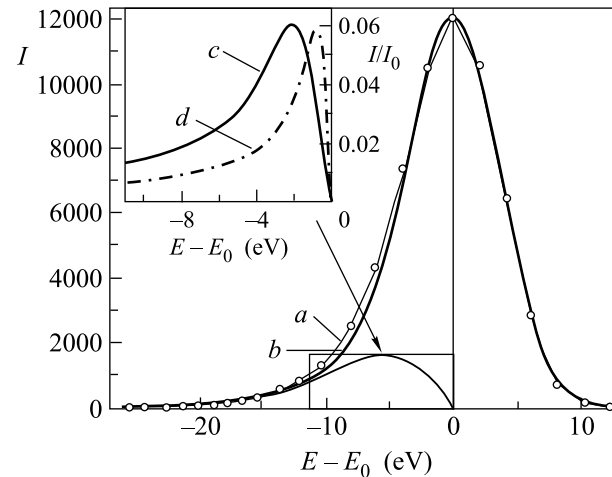


Рис.1. *a* – экспериментальный СРМИ спектр, *b* – аппроксимация СРМИ спектра сверткой функции (9) с распределением Гаусса, *c* – спектр возбуждения $e-h$ -пар в СРМИ, *d* – спектр возбуждения $e-h$ -пар в РФЭС

низкоэнергетический хвост (асимметрия), причиной которого являются неупругие потери кинетических энергий ионов He^+ при взаимодействии с поверхностными атомами нанокластеров Au. Аналогичные зависимости были получены и при других кинетических

энергиях ионов He^+ в области от 0.3 до 1.5 кэВ. На этих же нанокластерах ($d \approx 60 \text{ \AA}$) также измерялась асимметрия РФЭС линии $\text{Au}4f_{5/2}$.

Наблюдаемая в РФЭС асимметрия, как отмечено в [8], обусловлена возбуждением $e-h$ -пар. В случае СРМИ асимметрия линии также может быть связана с рождением $e-h$ -пар вследствие внезапности воздействия кулоновского потенциала иона на электронную систему. Проведенные оценки параметра Месси [13] $\xi = Ua/\hbar v$ для исследуемых энергий показали, что $\xi = 0.77 < 1$ ($a \cong 1.7 \cdot 10^{-8} \text{ см}$ – характерное расстояние сближения ионов He^+ с атомами Au [14], $U \sim 1 \text{ эВ}$ – значение потенциала иона He^+ на расстоянии a , $v \approx 2.2 \cdot 10^7 \text{ см/с}$ – скорость ионов He^+ для $E = 1 \text{ кэВ}$), что указывает на внезапность возникновения потенциала. Это в свою очередь является условием возбуждения $e-h$ -пар в поле иона. В условиях проведенных экспериментов, как показывают оценки, выполняется следующее соотношение между характерными временами:

$$\tau_{\text{int}} < \tau_{\text{rel}} < \tau_1. \quad (2)$$

Здесь $\tau_{\text{int}} = a/v \approx 7 \cdot 10^{-16} \text{ с}$ – время появления потенциала вблизи поверхности, $\tau_{\text{rel}} \approx 10^{-15} \text{ с}$ – время экранировки положительного заряда (релаксации валентных электронов) [6], $\tau_1 \approx 10^{-14} \text{ с}$ – время жизни заряда, определяющееся в проведенных экспериментах процессами оже-нейтрализации [14]. Из неравенства (2) следует, что процесс нейтрализации является самым медленным. В этом случае потери энергии иона He^+ связаны, в основном, с рождением $e-h$ -пар.

Из закона сохранения энергии E и импульса \mathbf{p} иона He^+ , взаимодействующего с нанокластерами металла, следует связь с энергией $\hbar\omega$ и импульсом \mathbf{q} , обусловливающими рождение в электронном газе $e-h$ -пары:

$$\hbar\omega = \mathbf{q}\mathbf{p}/M. \quad (3)$$

Отклик электронов проводимости нанокластера на внешнее возмущение, в ходе которого электрон переходит из состояния с импульсом $\hbar k \leq \hbar k_f$ в незанятое состояние с импульсом $\hbar k \geq \hbar k_f$, приводит к рождению $e-h$ -пары с малой энергией ($\hbar\omega < \varepsilon_f$) и большим импульсом ($q < 2k_f$). При этом спектр возбуждения $e-h$ -пар может быть представлен в виде [10]

$$\hbar\omega = \frac{\hbar^2}{2m}(q^2 \pm 2\mathbf{q}\mathbf{k}_f) \quad (4)$$

На рис.2 представлена дисперсионная зависимость (4) $\hbar\omega/2\varepsilon_f = f(q/k_f)$. Видно, что в спектре $e-h$ -возбуждений в однородном электронном газе разрешены не все значения энергий возбуждения. Разре-

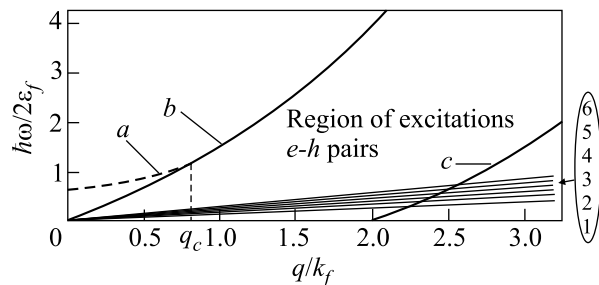


Рис.2. Дисперсионная зависимость (4): a – область возбуждения плазмонов, b – левая граница разрешенных энергий возбуждения $e-h$ -пар, определенная в соответствии с формулой $\frac{1}{2}q^2 - \mathbf{q}\mathbf{k}_f$, c – правая граница разрешенных энергий возбуждения $e-h$ -пар, соответствующая зависимости $\frac{1}{2}q^2 + \mathbf{q}\mathbf{k}_f$. Прямые линии построены для различных кинетических энергий ионов He^+ в соответствии с зависимостью (5): 1 – 0.3 кэВ, 2 – 0.5 кэВ, 3 – 0.7 кэВ, 4 – 1.0 кэВ, 5 – 1.3 кэВ, 6 – 1.5 кэВ

щенные значения находятся между кривыми $\frac{1}{2}q^2 \pm \mathbf{q}\mathbf{k}_f$. С учетом (3), зависимость энергии возбуждения $\hbar\omega/2\varepsilon_f$ от импульса $e-h$ -пар q/k_f определяется выражением

$$\frac{\hbar\omega}{2\varepsilon_f} = \left(\frac{v}{v_f} \cdot \cos\beta \right) \frac{1}{k_f}, \quad (5)$$

где β – угол между импульсом иона и импульсом, возбужденным в электронном газе, v и v_f – скорости иона и электрона на поверхности Ферми, соответственно. Видно, что при исследуемых энергиях ионов He^+ ($E = 300 \text{ эВ}$) в нанокластерах Au возбуждаются электроны с малыми энергиями ($\hbar\omega \cong 1.6 \text{ эВ}$ при $q/k_f \approx 1.5$, $\varepsilon_f = 5.5 \text{ эВ}$ [15]) в непрерывном спектре, соответствующем рождению $e-h$ -пар. Следует отметить, что в спектре $\hbar\omega/2\varepsilon_f = f(q/k_f)$ при малых импульсах и больших энергиях существует область, в которой могут возбуждаться электронные колективные моды (плазмоны). Однако, как видно из рис.2 и сделанных оценок, при исследуемых малых энергиях ионов ($E < 1.5 \text{ кэВ}$) возбуждение плазмонов маловероятно. Их возбуждение возможно при энергиях ионов $E \geq 50 \text{ кэВ}$.

Таким образом, измеренную асимметричную зависимость $I(E)$ (рис.1, кривая a) рассеянных ионов He^+ на поверхности нанокластеров можно объяснить только возбуждением большого числа $e-h$ -пар у поверхности Ферми, имеющую сингулярный характер при внезапном включении возмущающего потенциала.

Количественной характеристикой асимметрии в спектре является индекс сингулярности Андерсона α , определяемый природой электрон-дырочного взаимо-

Металл	$\rho(\varepsilon_f)$, эВ $^{-1}$	Электронная конфигурация в атоме	РФЭС			СРМИ		
			α	δ_l		α	δ_l	
				δ_0	δ_1		δ_0	δ_1
Au	0.25 [17]	$5d^{10}6s^1$ [15]	0.05*	0.21	0.03	0.24	0.06 ± 0.01	0.25
Co	2.07 [18]	$3d^74s^2$	0.30 ± 0.03	1.2	0.03	0.07	0.31 ± 0.05	1.25
Mo	0.6 [19]	$4d^55s^1$	0.06 ± 0.01	0.26	0.04	0.03	0.09 ± 0.01	0.4
							0.05	0.06

*Индекс сингулярности определен для объемного Au [20].

действия, который может быть представлен в виде [6]

$$\alpha = \sum_l 2(2l+1) \left(\frac{\delta_l}{\pi} \right)^2. \quad (6)$$

Здесь δ_l – фазовые сдвиги, определяющие рассеяние ионов на кулоновском потенциале. В соответствии с (6) величина $\alpha > 0$ и ограничивается величиной $\alpha = 0.5$, обусловленной правилом сумм Фриделя [16]:

$$Z = \sum_l 2(2l+1) \left(\frac{\delta_l}{\pi} \right), \quad (7)$$

где Z – валентность примесного атома (в нашем случае $Z = 1$ – заряд иона He^+ (в СРМИ) или локальной оставной дырки (в РФЭС). Следовательно, форма линии (1) при $\varepsilon \rightarrow \varepsilon_0$ расходится и имеет “хвост” при $\varepsilon \rightarrow \infty$ с показателем степени, определяемом величиной α . Согласно [7, 8], индекс сингулярности определяется плотностью электронных состояний на уровне Ферми $\rho(\varepsilon_f)$ и возбуждающим потенциалом U :

$$\alpha \propto U^2 \cdot \rho^2(\varepsilon_f). \quad (8)$$

Таким образом, из (6) и (8) следует, что измерение индекса сингулярности в нанокластерах металлов может позволить исследовать зонную структуру (фазы рассеяния) и плотность электронных состояний в зависимости от размера нанокластера. Исследования индекса сингулярности Андерсона при возбуждении $e-h$ -пар внезапно включенным кулоновским потенциалом позволяют измерить асимметрию спектра $I(E)$ рассеяния ионов He^+ (E – кинетическая энергия иона). Здесь, так же как и в РФЭС, сингулярность определяется возбуждением $e-h$ -пар. Таким образом, принимая во внимание закон сохранения энергии, устанавливающий связь между энергией возбуждения электронов проводимости $\hbar\omega$ и кинетической энергией иона E , видим, что спектр рассеянных ионов в случае кулоновского потенциала иона в бесконечном времени жизни имеет вид

$$I(E) = \frac{1}{(E - E_0)^{1-\alpha}}, \quad E > E_0. \quad (9)$$

Здесь E_0 – кинетическая энергия упругого рассеянных ионов. Поскольку как в РФЭС, так и в СРМИ возбуждающие потенциалы имеют конечные времена жизни, то спектральные линии уширены: в случае РФЭС – лоренцево уширение [9], в случае СРМИ – гауссово [14]. Следовательно, форма линии спектров РФЭС и СРМИ должна определяться, соответственно, путем свертки сингулярной функции (1) с распределением Лоренца и функции (9) с распределением Гаусса и зависеть от двух параметров: индекса сингулярности α и полуширины спектров γ . Использование процедуры обработки спектров, предложенной в [9], позволяет определить индекс сингулярности α .

На рис.1 представлен экспериментально наблюдаемый спектр рассеяния медленных ионов He^+ с кинетической энергией $E = 0.5$ кэВ на нанокластерах Au ($d \approx 60$ Å). Сплошной линией на этом же спектре показана свертка сингулярной функции (9) с распределением Гаусса, с полушириной $\gamma \approx 10$ эВ, аппроксимирующая экспериментальный спектр. Видно, что такая аппроксимация в пределах погрешности удовлетворительно описывает экспериментально наблюдаемый спектр. Зависимость α представляет собой разность между асимметричным и симметричным ($\alpha = 0$) спектрами, которую можно интерпретировать как спектр возбуждения $e-h$ -пар. Этот спектр имеет колоколообразный вид в отличие от предсказываемой теорией сингулярного, что, по-видимому, обусловлено как погрешностями измерений, так и погрешностями математической обработки полученных спектров. Для сравнения на рис.1 представлен спектр $e-h$ -пар (зависимость d), возбужденных потенциалом оставной дырки, полученный в результате РФЭС измерений. Наблюдаются существенное различие в формах линий, которое может быть обусловлено отклонением в случае СРМИ от внезапности появления кулоновского потенциала.

Величины индексов сингулярности α для нанокластеров Au, Co и Mo ($d \approx 60$ Å), полученные методом СРМИ, представлены в таблице. Для сравнения, в таблице также приведены значения α для этих металлов, полученные методом РФЭС. Видно, что ве-

личины α , определенные с помощью РФЭС, систематически меньше, чем определенные методом СРМИ. Это различие может быть обусловлено тем, что ионы He^+ при данных энергиях взаимодействуют только с поверхностными атомами нанокластеров, для которых электронные свойства отличны от объемных. Полученный результат находится в соответствии с наблюдением асимметрии (индекса сингулярности) при возбуждении поверхностных электронных состояний синхротронным излучением [12]. Из данных, приведенных в таблице, также следует, что существует корреляция между величинами α и плотностями электронных состояний на уровне Ферми нанокластеров исследуемых металлов. Эти результаты находятся в соответствии с теорией [7, 8] (см.(8)).

Соотношения (6) и (7) позволяют определить фазы рассеяния плоских волн на потенциале остоянной дырки или кулоновском потенциале иона He^+ для величин индексов сингулярности исследуемых металлов (см. таблицу). Оказалось, что наибольший вклад вносят сдвиги фаз δ_0 (s -волны) как в случае РФЭС, так и в СРМИ. При этом вклад поверхностных электронных состояний в величину δ_0 больше, чем объемных. Из таблицы также видно, что для Co ($\alpha = 0.3$) основной вклад в сдвиг фаз вносят s -электроны ($\delta_0 \gg \delta_2$), в то время как для Au и Mo, характеризующихся значениями $\alpha \approx 0.06 \div 0.09$, основной вклад в сдвиг фаз вносят как s -, так и d -электроны (δ_0 и δ_2). Как и следовало ожидать, для исследуемых систем $s-d$ -металлов фаза δ_1 близка к нулю (см. таблицу).

Особенностью исследования спектров рассеяния ионов He^+ на поверхности нанокластеров металлов является независимость в пределах погрешности измерений индекса сингулярности от скорости ионов в области от $1.2 \cdot 10^7$ до $2.2 \cdot 10^7$ см/с ($E \approx 0.3 \div 1$ кэВ) (см. рис.3) для различных величин средних размеров нанокластеров. При больших скоростях ионов $v > 2.5 \cdot 10^7$ см/с наблюдается увеличение значения индекса сингулярности α от 0.05 до 0.09, что, по-видимому, связано с возбуждением одночастичных электронных состояний.

На рис.4 представлена зависимость параметра α СРМИ спектров от среднего размера d нанокластеров Au при кинетической энергии ионов $E = 300$ эВ. Видно, что параметр сингулярности α в исследуемом интервале размеров $d \approx 20 \div 60$ Å в пределах погрешности слабо зависит от размера d . На этом же рисунке приведена зависимость сингулярности в РФЭС фотоэлектронов Au $4f_{5/2}$. Для нанокластеров больших размеров ($d \approx 60$ Å) величина $\alpha \approx 0.05$, что соответствует объемному значению индекса сингулярности

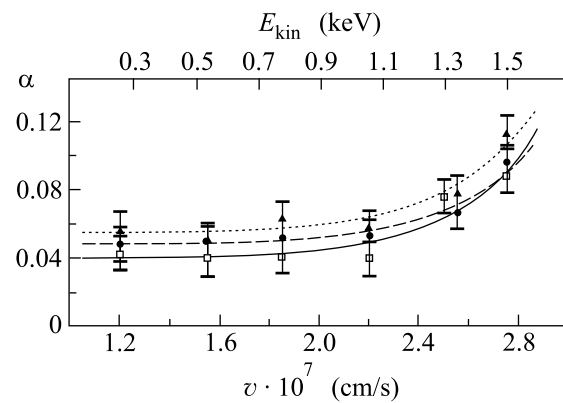


Рис.3. Экспериментальные значения величины индекса сингулярности α в зависимости от скорости ионов v и их кинетических энергий E_{kin} для разного количества лазерных импульсов N : \square – 5000 импульсов ($d = 60$ Å), \blacktriangle – 400 импульсов ($d = 40$ Å), \bullet – 50 импульсов ($d = 30$ Å)

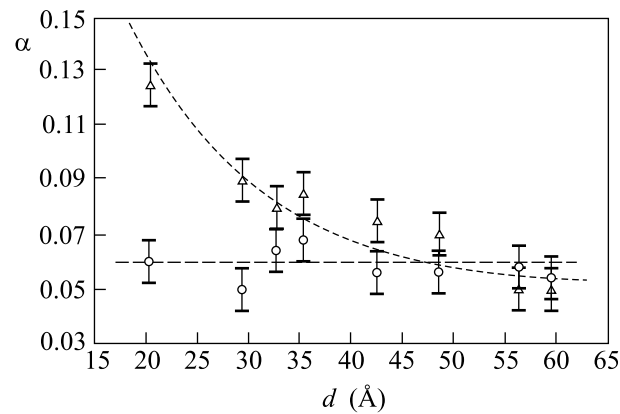


Рис.4. Экспериментальные значения величины индекса сингулярности α как функции размеров (d) осажденных на поверхность ВОПГ нанокластеров Au: \bullet – СРМИ ($E_{\text{kin}} = 0.3$ кэВ), \blacktriangle – РФЭС

[20]. При уменьшении величины d индекс сингулярности α увеличивается, достигая значения $\alpha \approx 0.15$ при $d \approx 20$ Å. Аналогичные зависимости были получены для других исследуемых энергий ионов He^+ .

Объяснить полученные экспериментальные результаты в рамках существующего предположения об изменении числа ближайших соседей [21] и, следовательно, перераспределения вкладов поверхностных и объемных состояний с изменением размера нанокластера не представляется возможным. Действительно, предположим, что индекс сингулярности, измеряемый в РФЭС, можно представить в виде $\alpha = x\alpha_s + (1-x)\alpha_b$, где α_s и α_b – величины, определяемые поверхностными и объемными электронными состояниями, соответственно, и не зависящие от

размера d , а $x \sim 1/d$ и изменяется от 0 до 1. Тогда нетрудно показать, что зависимость $\alpha(d)$ представляет собой “ступенчатую” функцию $\alpha \rightarrow \alpha_s \approx 0.06$ при $d \rightarrow 0$ ($x \rightarrow 1$) и $\alpha \rightarrow \alpha_b \approx 0.05$ при $d \rightarrow \infty$ ($x \rightarrow 0$), что не соответствует наблюдаемой зависимости $\alpha(d)$. Следует отметить, что использование этого предположения удовлетворительно описывает зависимости энергии связи остовых электронов в РФЭС начального и конечного состояний от размера нанокластера [1, 2]. Таким образом, полученные в настоящей работе результаты исследований зависимости индекса сингулярности α от размера нанокластеров могут быть обусловлены тем, что α определяется не только изменением величины $\rho(\varepsilon_f)$, но и перераспределением зонной структуры электронов проводимости в нанокластере с изменением его размера. Проведенный анализ полученных экспериментальных результатов показал, что с уменьшением среднего размера ($d \approx 20 \text{ \AA}$) нанокластера Au изменение фазы δ_0 (s -волны) увеличивается почти в три раза ($\delta_0 \approx 0.75$) по сравнению с объемным значением ($\delta_0 \approx 0.21$), а величина δ_2 (d -волны) уменьшается в полтора раза ($\delta_2 \approx 0.16$). Таким образом, изменение индекса сингулярности с размером нанокластера определяется зонной структурой нанокластера в отличие от обычно используемых характеристик [1, 2], таких как энергии начального и конечного состояний.

В заключение следует отметить, что асимметрия, наблюдаемая в нанокластерах металлов, обусловлена возбуждением непрерывного спектра $e-h$ -пар. В неметаллическом состоянии вещества вместо непрерывного спектра $e-h$ -пар появляются дискретные сателлиты встремки (shake up), обусловливающие дискретные возбуждения [19]. Следовательно, при уменьшении размера кластера возможно наблюдение перехода металл–неметалл.

Авторы признательны А. В. Зенкевичу, Д. О. Филатову, Д. А. Антонову и Ю. Ю. Лебединскому за помощь в получении нанокластеров с помощью ИЛО, в проведении СТМ исследований и экспериментов с помощью СРМИ. Работа выполнена при частичной финансовой поддержке (Л.В.В.) Министерства образования РФ (грант # A03-2.9-813), а также при поддержке (П.М.А.) совместной российско-американской программы “Фундаментальные исследования и высшее

образование” (Basic Research and Higher Education Program 2003 Postdoctoral Fellowship) Американского фонда гражданских исследований (CRDF) и Министерства образования РФ (грант # Y1-P-01-12).

1. P. H. Citrin and G. K. Wertheim, Phys. Rev. **B27**, 3176 (1983).
2. V. N. Nevolin, A. V. Zenkevich, X. Ch. Lai et al., Laser Physics **11**, 45 (2001).
3. C. Xu., X. Lai, D. W. Goodman et al., Phys. Rev. **B56**, 13464 (1997).
4. V. D. Borman, X. Ch. Lai, M. A. Pushkin et al., JETP Lett. **76**, 444 (2002).
5. P. W. Anderson, Phys. Rev. Lett. **18**, 1049 (1967).
6. G. D. Mahan, Phys. Rev. **163**, 612 (1967).
7. J. J. Hopfield, Comm. Sol. St. Phys. **2**, 2 (1969).
8. D. C. Langreth, Phys. Rev. **B1**, 471 (1970).
9. P. H. Citrin, G. K. Wertheim, and Y. Baer, Phys. Rev. **B16**, 4256 (1977).
10. Н. Марч, М. Паринелло, Коллективные эффекты в твердых телах, М: Мир, 1986.
11. P. Nozieres and C. T. de Dominicis, Phys. Rev. **178**, 1097 (1969).
12. G. K. Wertheim, D. M. Riffe et al., Phys. Rev. **B45**, 8703 (1992).
13. Дж. Тейлор, Теория рассеяния, М.: Мир, 1975.
14. Interaction of charged particles with solids and surfaces, Eds. A. Gras-Marti, H. M. Urbassek, N. R. Arista, and F. Flores, Plenum press, New York and London, 1991.
15. Н. Ашкрофт, Н. Мермин, Физика твердого тела, т. 1, М.: Мир, 1979.
16. Д. Займан, Принципы теории твердого тела, М.: Мир, 1974.
17. N. V. Smith, G. K. Wertheim, S. Hüfner, and M. M. Traum, Phys. Rev. **B10**, 3197 (1974).
18. F. Batallan, I. Rosenman, and C. B. Sommers, Phys. Rev. **B11**, 545 (1975).
19. D. D. Koelling, F. M. Mueller, and A. J. Arko, Phys. Rev. **B10**, 4889 (1974).
20. S. Hufner and G. K. Wertheim, Phys. Rev. **B11**, 5197 (1975).
21. M. G. Mason, Phys. Rev. **B27**, 748 (1983).
22. Анализ поверхности методами оже- и рентгеновской фотоэлектронной спектроскопии, под ред. Д. Бриггса и М. П. Сиха, М.: Мир, 1987.